

Математическая модель процесса пленочной конденсации

Ф. Г. Ахмадиев

Казанский государственный архитектурно-
строительный университет
akhmadiev@kgasu.ru

М. И. Фарахов, А. А. Ахмитшин

ООО Инженерно-внедренческий центр «Инжехим»
info@ingehim.ru

Аннотация. Разработана математическая модель тепломассообмена при пленочной конденсации в двухмерной постановке. В уравнениях сохранения учтено изменение свойств хладагента и пленки конденсата в зависимости от температуры. Граничные условия сопряжения записаны на внутренней стенке области течения хладагента, на внешней стенке, по которой течет пленка конденсата, а также на границе раздела пленка – газ. Построен алгоритм решения полученной краевой задачи. Математическая модель является основой для оптимального оформления процесса.

Ключевые слова: математическая модель; сопряженный тепломассообмен; пленочная конденсация

I. ВВЕДЕНИЕ

Тепломассообменные процессы при конденсации, испарении широко используются в различных областях техники и технологии при охлаждении различных рабочих поверхностей, в технологических процессах, энергетике [1, 3]. Конденсация принадлежит к одному из наиболее распространенных технологических процессов. Процессы с конденсацией занимают большой удельный вес в химической технологии и смежных отраслях промышленности [1–3]. Изучению различных аспектов процессов конденсации посвящены многочисленные работы, в том числе обзорные работы [1–7].

Основополагающей работой по теплообмену при пленочной конденсации является работа Нуссельта [8] при целом ряде упрощающих допущений [1]. В результате определялись толщины пленки, коэффициент теплоотдачи и количество сконденсированного газа (расход конденсата). Данная работа дала вполне удовлетворительные результаты и служила базой для дальнейшего развития теории расчета пленочной конденсации [1]. В ней [8] не учитывались выделение теплоты аккумуляции при охлаждении пленки, неизотермичность поверхности охлаждения и изменение физических свойств жидкости [1].

Несмотря на многочисленные теоретические и экспериментальные исследования процессов пленочной конденсации в различных постановках [1–10], сопряженный тепломассообмен при пленочной

конденсации с учетом неизотермического течения хладагента внутри конденсатора, пленки конденсата и газовой фазы (пара) исследован недостаточно полно [1].

Целью данной работы является построение математической модели тепломассообмена при пленочной конденсации с учетом термодинамической обстановки во всех рабочих областях теплообменника.

II. МАТЕМАТИЧЕСКАЯ МОДЕЛЬ

Рассматривается ламинарный установившийся режим пленочной конденсации, который может быть реализован, например, в теплообменниках, которые состоят из блоков, теплообменные элементы которых выполнены в форме прямой полой призмы из тонких металлических листов, с образованием внутреннего щелевого канала для теплоносителя (хладагента) (рис. 1, 2) [1].

При работе теплообменника хладагент течет внутри щелевого канала полой призмы. За счет охлаждения стенок канала и теплообмена через стенки канала с вертикально движущейся газовой фазой образуется пленка конденсата, которая стекает по поверхности канала (рис. 2) [1].

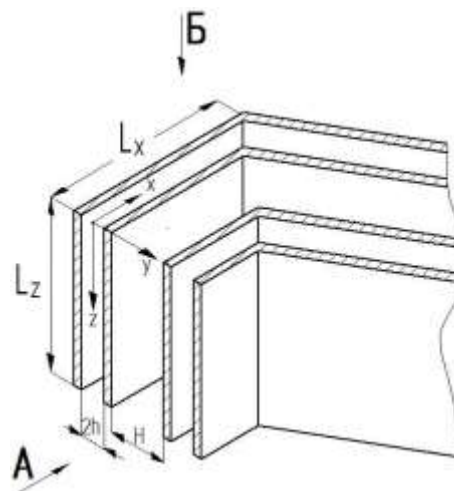


Рис. 1. Физическая модель конденсатора

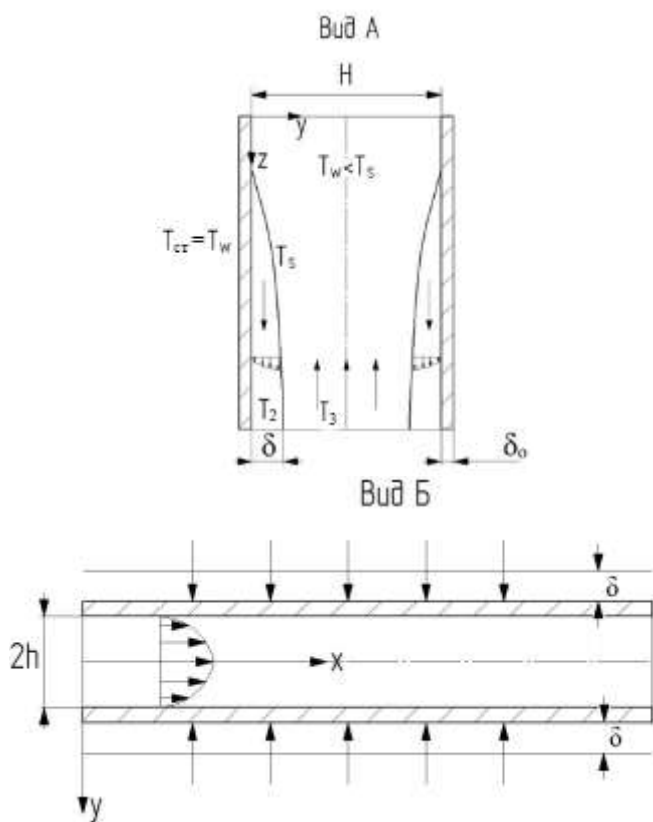


Рис. 2. Схема работы теплообменника при пленочной конденсации

В области течения хладагента и газа (рис. 2) выполняются соотношения $L_z \approx L_x \gg 2h (H \gg 2h)$. Тогда исходная система уравнений, описывающая установившееся плоское ламинарное течение хладагента внутри призмы, пленки конденсата и газовой фазы (пара) в декартовой системе координат x, y, z записывается в виде [1]

$$\frac{\partial V_{1x}}{\partial x} + \frac{\partial V_{1y}}{\partial y} = 0, \quad (1.1)$$

$$\rho_1 \left(V_{1x} \frac{\partial V_{1x}}{\partial x} + V_{1y} \frac{\partial V_{1x}}{\partial y} \right) = -\frac{\partial p_1}{\partial x} + F_{1x} + \frac{\partial}{\partial y} \left(\mu_1 \frac{\partial V_{1x}}{\partial y} \right), \quad (1.2)$$

$$-\frac{\partial p_1}{\partial y} + F_{1y} = 0, \quad (1.3)$$

$$-\frac{\partial p_1}{\partial z} + F_{1z} = 0, \quad (1.4)$$

$$\rho_1 c_{p1} (V_{1x} \frac{\partial T_1}{\partial x} + V_{1y} \frac{\partial T_1}{\partial y}) = \frac{\partial}{\partial y} \left(\lambda_1 \frac{\partial T_1}{\partial y} \right), \quad (1.5)$$

$$\frac{\partial V_{2y}}{\partial y} + \frac{\partial V_{2z}}{\partial z} = 0, \quad (2.1)$$

$$\rho_2 \left(V_{2y} \frac{\partial V_{2z}}{\partial y} + V_{2z} \frac{\partial V_{2z}}{\partial z} \right) = -\frac{\partial p_2}{\partial z} + F_{2z} + \frac{\partial}{\partial y} \left(\mu_2 \frac{\partial V_{2z}}{\partial y} \right), \quad (2.2)$$

$$-\frac{\partial p_2}{\partial x} + F_{2x} = 0, \quad (2.3)$$

$$-\frac{\partial p_2}{\partial y} + F_{2y} = 0, \quad (2.4)$$

$$\rho_2 c_{p2} (V_{2y} \frac{\partial T_2}{\partial y} + V_{2z} \frac{\partial T_2}{\partial z}) = \frac{\partial}{\partial y} \left(\lambda_2 \frac{\partial T_2}{\partial y} \right), \quad (2.5)$$

$$\frac{\partial V_{3y}}{\partial y} + \frac{\partial V_{3z}}{\partial z} = 0, \quad (3.1)$$

$$\rho_3 \left(V_{3y} \frac{\partial V_{3z}}{\partial y} + V_{3z} \frac{\partial V_{3z}}{\partial z} \right) = -\frac{\partial p_3}{\partial z} + F_{3z} + \frac{\partial}{\partial y} \left(\mu_3 \frac{\partial V_{3z}}{\partial y} \right), \quad (3.2)$$

$$-\frac{\partial p_3}{\partial x} + F_{3x} = 0, \quad (3.3)$$

$$-\frac{\partial p_3}{\partial y} + F_{3y} = 0, \quad (3.4)$$

$$\rho_3 c_{p3} (V_{3y} \frac{\partial T_3}{\partial y} + V_{3z} \frac{\partial T_3}{\partial z}) = \frac{\partial}{\partial y} \left(\lambda_3 \frac{\partial T_3}{\partial y} \right), \quad (3.5)$$

$$\lambda_4 \frac{\partial^2 T_4}{\partial y^2} = 0. \quad (3.6)$$

Уравнения (1.1) – (1.5) описывают движение хладагента внутри полой прямой призмы, уравнения (2.1) – (2.5) течение стекающей пленки, а уравнения (3.1) – (3.5) движение газа (пара), а (3.6) – теплопередачу через стенку. $F_{1y} = F_{1x} = 0$, $F_{1z} = \rho_1 g$; $F_{2y} = F_{2x} = 0$, $F_{2z} = \rho_2 g$; $F_{3x} = F_{3z} = 0$, $F_{3y} = \rho_3 g$; $\mu_i = \mu_i(T_i), i = 1, 3$ (учитывается только изменение вязкости от температуры), индексы 1, 2, 3 соответственно относятся к хладагенту, пленке жидкости и газовой фазе [1].

Система уравнений (1.1) – (3.6) решается при соответствующих граничных условиях, которые имеют вид [1]:

$$\frac{\partial V_{1x}}{\partial y} = 0, \quad \frac{\partial T_1}{\partial y} = 0, \quad V_{1y} = 0 \quad \text{при } y = 0; \quad (4.1)$$

$$V_{1x} = V_{1y} = 0, \quad \lambda_1 \frac{\partial T_1}{\partial y} = \lambda_4 \frac{\partial T_4}{\partial y} \quad \text{при } y = \pm h; \quad (4.2)$$

$$T_4 = T_2, \quad \lambda_4 \frac{\partial T_4}{\partial y} = \lambda_2 \frac{\partial T_2}{\partial y}, \quad V_{2y} = V_{2z} = 0,$$

$$-\lambda_2 \frac{\partial T_2}{\partial y} = \alpha(T_{10} - T_c) \approx \alpha(T_{1sr} - T_{4sr}) \quad \text{при } y = h + \delta_0; \quad (4.3)$$

$$\mu_2 \frac{\partial V_{2z}}{\partial y} = \mu_3 \frac{\partial V_{3z}}{\partial y} + \frac{d\sigma_2}{dz}, \quad V_{2z} = V_{3z}, \quad T_2 = T_3 = T_{2s},$$

$$\rho_2 = \rho_3 + \sigma_2 \frac{d^2 \delta}{dz^2} \text{ при } y = h + \delta_0 + \delta; \quad (4.4)$$

$$\frac{\partial T_3}{\partial y} = 0, \quad \frac{\partial V_{3z}}{\partial y} = 0, \quad V_{3y} = 0$$

$$\text{при } y = \delta_1 = h + \delta_0 + \frac{H}{2}; \quad (4.5)$$

$$V_{1x} = V_{1xvh}, \quad T_1 = T_{1vh}, \quad p_1 = p_{1vh} \text{ at } x = x_{vh}; \quad (5.1)$$

$$V_{2z} = V_{2zvh}, \quad T_2 = T_{2vh} \text{ at } z = z_{vh} = z_0; \quad (5.2)$$

$$V_{3z} = V_{3zvh}, \quad T_3 = T_{3vh}, \quad V_{3y} = 0, \quad p_3 = p_{3vh} \text{ при } z = L_z, \quad (5.3)$$

где α – коэффициент теплоотдачи (с учетом термического сопротивления стенки), σ_2 – коэффициент поверхностного натяжения пленки, T_{10} – температура охлаждающей среды (хладогента); T_c, T_{2s} – температуры стенки и насыщения,

$$T_{10} \approx T_{1sr} = \frac{1}{h} \int_0^h T_1 dy = B_1 \frac{h^2}{6} + C_1,$$

$$T_c = T_{4sr} = \frac{1}{\delta_0} \int_h^{h+\delta_0} T_4 dy = C_4 \left(h + \frac{\delta_0}{2} \right) + C_5. \quad (5.4)$$

Решение краевой задачи (1.1) – (1.5), (2.1) – (2.5), (3.1) – (3.6), (4.1) – (4.5) и (5.1) – (5.3) представляет собой сложную задачу. Поэтому рассмотрим решение этой задачи в частном случае.

III. ТЕПЛОМАССООБМЕН ПРИ МЕДЛЕННЫХ РЕЖИМАХ ТЕЧЕНИЯ

В этом случае задача существенно упрощается и в уравнениях сохранения импульса можно пренебречь инерционными членами. Тогда уравнения сохранения (1.1) – (1.5), (2.1) – (2.5), (3.1) – (3.6) удастся решить при граничных условиях (4.1) – (4.5) и (5.1) – (5.3) [1].

Приведем схему решения уравнений (1.1) – (1.5), (2.1) – (2.5), (3.1) – (3.6):

1. Из уравнений (1.3) – (1.4), (2.3) – (2.4), (3.3) – (3.4) соответственно следует, что

$$\rho_1(x, z) = \rho_1 g z + p_1(x), \quad p_2 = p_2(z), \quad p_3 = p_3(z), \quad (6)$$

где $p_1(x), p_2(z), p_3(z)$ – пока неизвестные функции, которые будут определены в дальнейшем.

2. Для интегрирования уравнений сохранения энергии (1.5), (2.5), (3.5) используем приближенный метод Слезкина, согласно которому соответственно вводятся функции [1, 11]

$$B_1(x) = \frac{\rho_1 c_{1p_1}}{\lambda_1 \cdot h} \int_0^h (V_{1x} \frac{\partial T_1}{\partial x} + V_{1y} \frac{\partial T_1}{\partial y}) dy, \quad (7.1)$$

$$B_2(z) = \frac{\rho_2 c_{2p_2}}{\lambda_2 \cdot \delta} \int_{h+\delta_0}^{h+\delta_0+\delta} (V_{2y} \frac{\partial T_2}{\partial y} + V_{2z} \frac{\partial T_2}{\partial z}) dy, \quad (7.2)$$

$$B_3(z) = \frac{\rho_3 c_{3p_3}}{\lambda_3 \left(\frac{H}{2} - \delta \right)} \int_{h+\delta_0+\delta}^{h+\delta_0+\frac{H}{2}} (V_{3y} \frac{\partial T_3}{\partial y} + V_{3z} \frac{\partial T_3}{\partial z}) dy, \quad (7.3)$$

где $B_1(x), B_2(z), B_3(z)$ и $\delta(z)$ – пока неизвестные функции.

Тогда после интегрирования уравнений

$$B_1(x) = \frac{\partial^2 T_1^2}{\partial y^2}, \quad B_2(z) = \frac{\partial^2 T_2}{\partial y^2}, \quad B_3(z) = \frac{\partial^2 T_3}{\partial y^2} \text{ и}$$

$\lambda_4 \frac{\partial^2 T_4}{\partial y^2} = 0$ при соответствующих граничных условиях получаются следующие выражения для температур T_1, T_2 и T_3, T_4 :

$$T_1 = B_1(x) \frac{y^2}{2} + C_1, \quad T_2 = B_2(z) \frac{y^2}{2} + C_2 \cdot y + \tilde{C}_2,$$

$$T_3 = B_3(z) \left(\frac{y^2}{2} - \delta_1(z) \cdot y \right) + C_3, \quad T_4 = C_4 \cdot y + C_5,$$

$$\delta_1(z) = h + \delta_0 + \frac{H}{2}, \quad (8)$$

где $C_1, C_2, \tilde{C}_2, C_3, C_4, C_5$ – постоянные интегрирования, определяются из граничных условий (4.1) – (4.5).

3. По уравнениям (1.1) – (1.2), (2.1) – (2.2), (3.1) – (3.2) находятся поля скоростей $V_{1x}, V_{1y}, V_{2y}, V_{2z}, V_{3y}, V_{3z}$ при известных зависимостях температуры T_1, T_2, T_3 (8). При этом были использованы полиномиальные зависимости вязкостей $\mu_i(T_i)$ от температуры [1]

$$\frac{\mu_i(T_{i0})}{\mu_i(T_i)} = 1 + \sum_{k=1}^{n_i} \alpha_{ik} T_{ik}^k, \quad (T_i = T_i - T_{i0}) \quad (9.1)$$

3.1. Из уравнения (1.2) определяется V_{1x} с учетом зависимости (9.1)

$$V_{1x}(x, y) = \int_h^y \frac{\rho_1'(x) \cdot y}{\rho_1 \cdot \mu_1(T_1)} dy = \tilde{\rho}_1'(x) \left\{ \frac{(y^2 - h^2)}{2} + \right. \\ \left. + a_{11} \left[B_1 \frac{(y^4 - h^4)}{8} + (C_1 - T_{10}) \cdot \frac{(y^2 - h^2)}{2} \right] + \right. \\ \left. + a_{12} \left[B_1^2 \frac{(y^6 - h^6)}{24} + 2B_1(C_1 - T_{10}) \cdot \frac{(y^4 - h^4)}{8} + \right. \right.$$

$$+(C_1 - T_{10})^2 \cdot \frac{(y^2 - h^2)}{2} \Bigg\}, \quad (9.2)$$

где $\tilde{\rho}'_1(x) = \frac{\rho'_1(x)}{\rho_1 \mu_1(T_{10})}$, $n = 2$ в зависимости (9.1).

3.2. При найденном $V_{1x}(x, y)$ из уравнения (1.1) с учетом граничного условия $V_{1y}(x, h) = 0$ определяется поперечная скорость $V_{1y}(x, y)$ в виде

$$\begin{aligned} V_{1y}(x, y) &= \int_h^y \left[\int_y^h \frac{\rho'_1(x) \cdot y}{\rho_1 \mu_1(T_1)} dx dy \right] dy = \\ &= \tilde{\rho}_1''(x) [W_{11}(x, y, z) - W_{11}(x, h, z)] + \\ &+ \tilde{\rho}_1'(x) [W_{12}(x, h, z) - W_{12}(x, y, z)], \end{aligned} \quad (10.1)$$

где

$$\begin{aligned} W_{11}(x, y, z) &= \left(\frac{h^2 y}{2} - \frac{y^3}{6} \right) + a_{11} \left[B_1 \left(\frac{h^4 y}{8} - \frac{y^5}{40} \right) + \right. \\ &+ (C_1 - T_{10}) \cdot \left(\frac{y^3}{6} - \frac{h^2 y}{2} \right) \Bigg] + a_{12} \left[B_2 \left(\frac{y^7}{168} - \frac{h^6 y}{24} \right) + \right. \\ &+ 2B_1 (C_1 - T_{10}) \cdot \left(\frac{y^5}{40} - \frac{h^4 y}{8} \right) + (C_1 - T_{10})^2 \cdot \left(\frac{y^3}{6} - \frac{h^2 y}{2} \right) \Bigg], \end{aligned} \quad (10.2)$$

$$\begin{aligned} W_{12}(x, y, z) &= a_{11} \left[B_1' \left(\frac{h^4 y}{8} - \frac{y^5}{40} \right) + C_1' \cdot \left(\frac{y^3}{6} - \frac{h^2 y}{2} \right) \right] + \\ &+ a_{12} \left[2B_1 B_1' \left(\frac{y^7}{168} - \frac{h^6 y}{24} \right) + \right. \\ &+ 2B_1' (C_1 - T_{10}) \left(\frac{y^5}{40} - \frac{h^4 y}{8} \right) + \\ &+ 2B_1 C_1' \left(\frac{y^5}{40} - \frac{h^4 y}{8} \right) + 2C_1' (C_1 - T_{10}) \left(\frac{y^3}{6} - \frac{h^2 y}{2} \right) \Bigg], \end{aligned} \quad (10.3)$$

3.3. По уравнениям (2.1) – (2.2), (3.1) – (3.2) при соответствующих граничных условиях аналогичным образом определяются поля скоростей $V_{2y}, V_{2z}, V_{3y}, V_{3z}$.

4. Во всех решениях для полей скоростей и температур присутствуют неизвестные величины $B_1(x), B_2(z), B_3(z)$ и $\delta(z)$. Их определяем используя зависимости (7.1) – (7.3) и условие изменения расхода конденсата Q по длине конденсатора z с учетом потока массы при конденсации Q_g и условие баланса энергии в пленке конденсата:

$$\frac{dQ}{dz} = Q_g, \quad Q = \rho_2 \int_{h+\delta_0}^{h+\delta_0+\delta} V_{2z} dy, \quad (11.1)$$

где Q_g – определяется из соотношения:

$$q = -\lambda_2 \frac{\partial T_2}{\partial y} \Big|_{h+\delta_0} = Q_g c_{p_2} (T_3 - T_{2s}) + h_2 Q_g, \quad (11.2)$$

$T_{2s}, T_w = T_c$ – температура насыщения и стенки.

Данная система из четырех дифференциальных уравнений решается численными методами на каждом шаге алгоритма.

5. Перепады давлений в этих выражениях определяются из условий сохранения массы хладагента, конденсата и газовой фазы.

IV. ЗАКЛЮЧЕНИЕ

Математическая модель в конкретных частных случаях согласуется с ранее известными решениями, приведенными в работах [1–3, 8]. Например, если не рассматривать течение охлаждающей среды внутри поллой призмы и взять ее температуру $T_1 = T_0$ и стенки $T_4 = T_c$ и пренебречь конвективным переносом тепла в уравнении (2.5) ($B_2(z) = 0$) и трением на границе раздела газ-жидкость при граничных условиях (4.3)–(4.4), то наше решение полностью совпадает с решением [8].

СПИСОК ЛИТЕРАТУРЫ

- [1] Ахмадиев Ф.Г., Фаррахов М.И., Ахмитшин А.А. Математическое моделирование процесса пленочной конденсации // Вестник Технологического университета. 2017. Т. 20, №17. С.32-35.
- [2] Теплопередача в двухфазном потоке /Под ред. Д. Баттерворса, Г. Хьюитта. Пер. с англ. М.: Энергия, 1980. 328 с.
- [3] Михалевич А.А. Математическое моделирование массо-теплопереноса при конденсации. Минск: Наука и техника, 1982. 216 с.
- [4] Кутателадзе С.С. Теплопередача при конденсации и кипении. Москва-Ленинград: Машгиз, 1952. 232 с.
- [5] Справочник по теплообменникам/ Под ред. Б.С. Петухова, В.К. Шикова. Пер. с англ. Т. 1. М.: Энергоатомиздат, 1987. 560 с.
- [6] Холпанов Л.П. Шкадов В.Я. Гидродинамика и тепломассообмен с поверхностью раздела. М.:Наука, 1990. 271 с.
- [7] Лабунцов Д.А. О влиянии на теплоотдачу при пленочной конденсации пара зависимости физических параметров конденсата от температуры // Теплоэнергетика. 1957. №1. С 49-52.
- [8] Nusselt W. Surface condensation of water vapours// Z. Ves. Dt. Ing. 1916. V. 60(26). P. 569-575; Vol. 60(27). P. 541-546.
- [9] Z.A. El-Zassah, A.F. Khadrawe, H.A. AL-Nims Film on condensation on a vertical microchannel // International communications in Heat and Transfer. 2008. Vol 35. pp.1172 - 1181.
- [10] Hassaninejadafarhani F. Ormiston. S. Numerical analyses of laminar reflux condensation from gas-vapour mixtures in vertical parallel plate channels // Inf. J. Mechanical, Aerospace, Industrial, Mechatronic and Manufacturing. Eng. 2015. Vol. 9, No. 5. pp. 794-803.
- [11] Тарг С.М. Основные задачи теории ламинарных течений. М.: ГИТТЛ. 1951. С. 420